

УДК 004.93

В.П. КОЖЕМ'ЯКО<sup>1</sup>, Л.І. ТИМЧЕНКО<sup>1</sup>, Ю.Ф. КУТАЄВ<sup>2</sup>, А.А. ЯРОВИЙ<sup>1</sup>, Н.І. КОКРЯЦЬКА<sup>1</sup>

## ЗАСТОСУВАННЯ W – СПЕКТРУ ЗВ'ЯЗНОСТІ ДЛЯ ПОРІВНЯННЯ ЗОБРАЖЕНЬ

<sup>1</sup> Вінницький державний технічний університет

95, Хмельницьке шосе, Вінниця, 21021, Україна

Тел.: +380 (432) 440125, 440019, e-mail: kyp@vstu.vinnica.ua

<sup>2</sup> Державне унітарне дочірнє підприємство «НПО Астрофізика»

112, Волоколамське шосе, Москва, 123424, Росія

**Анотація.** Розглянуті варіанти представлення багатоградаційного зображення у вигляді дво- та тривимірного варіантів W – спектру зв'язності. Приведена методика дихотомічного розбиття W – спектру зв'язності зображень з наступним їх порівнянням.

**Аннотация.** Рассмотрены варианты представления многоградационного изображения в виде двух- и трехмерного вариантов W – спектра связности. Приведена методика дихотомического разбиения W – спектра связности с последующим их сравнением.

**Abstract.** The variants of presentation of multigradation images in the manner of two- and three-dimensional variants of W – spectrum specially connection is considered. The methods of W – spectrum specially connection dichotomic partition with following their comparison is resulted.

**Ключові слова:** розпізнавання образів, обробка зображень, W – спектр зв'язності, Q – спектр.

### ВСТУП

Для ряду медичних, навігаційних і робототехнічних систем актуальними проблемами є створення швидкодіючих цифрових пристрій розпізнавання образів, у тому числі задача виявлення і вимірювання координат зображень в умовах непевності завдань сигналної обстановки [1,2].

Аналіз показує, що комплекс характеристик існуючих цифрових пристрій для виявлення об'єктів і кореляційно-екстремальних вимірювачів координат не задоволяє в повному об'ємі запропонованим до таких систем вимогам. Дані вимоги містять у собі забезпечення максимальної простоти для досягнення максимальної швидкодії при зберіганні високої точності обчислень, високої завадостійкості алгоритмічних засобів, усталеності до зміни відносних характеристик об'єкта спостереження і фона адаптації до априорно невідомого фона.

З метою зниження чутливості до деформацій, внесених формуванням зображення і його шуму, пропонується метод представлення багатоградаційного зображення узагальненим W - спектром просторової зв'язності і на його основі запропоновані завадостійкі алгоритми порівняння зображень [1,3,4].

### 1. ДВОВИМІРНИЙ ВАРИАНТ W-СПЕКТРУ ЗВ'ЯЗНОСТІ

Сутність розкладання зображення в узагальнений W - спектр зв'язності полягає в розбитті його по встановленому правилу на області, підрахунку суми величин відліків зображення по восьми напрямках зв'язності (часткової W - суми зв'язності) у межах кожної області і віднесення кожної із часткових W - сум до координат геометричного центру відповідної області. W-спектр зв'язності зображення (його фрагмента) розмірністю  $m_x m_y$  визначений як

$$W_{\Sigma x,y} = \sum_v^8 \sum_{i,j}^{m_x m_y} a_{i,j}^v, \quad (1)$$

де  $a_{i,j}^v$  - одиничний елемент зображення (його фрагмента) із координатами  $i, j$ , і зв'язністю  $v$ .

При розмірності зображення  $m_x m_y$  і такому ж числі одиничних відліків узагальнений  $W$ -спектр зв'язності зображення  $W_{\Sigma x,y}$  буде

$$W_{\Sigma x,y} = 4 \cdot 3 + 2 \left[ (m_x + m_y) - 4 \right] \cdot 5 + (m_x - 2)(m_y - 2) \cdot 8 \cdot m_x m_y \geq 2 \quad (2)$$

Спектр зв'язності поточного зображення  $W$  знаходиться в межах  $0 \leq W_{\Sigma x,y} \leq W_{\Sigma 1x,y}$ . При  $m_x = m_y = 1$ ,  $W_{\Sigma 1x,y} = 0$ .

Серед величезного числа можливих при цьому варіантів розкладань, наприклад, викладених у [5], у плані практичної реалізації представляють визначений інтерес варіанти розкладання на основі принципу дихотомії (розділу навпіл): безвідносно геометричного центру зображення з прив'язкою до цього центру. Приклад розкладання зображення в ціличисельний двійковий  $W$ -спектр зв'язності поданий на рис. 1,б, перевагою якого є те, що мінімальні величини зв'язності і координата  $\omega$  - коефіцієнтів максимального і мінімального порядку  $(\lambda, t)$ , де  $\lambda = 2^{m_x}$  і  $t = 2^{m_y}$  - коефіцієнти розподілу (дільники) рівні величині зв'язності і координатам відліків зображення відповідно. Величини  $m_\lambda = 1$ ,  $INT[\log_2 m_x]$  і  $m_t = 1$ ,  $INT[\log_2 m_y]$  визначені в [6], де  $m_x m_y$  - максимальні розміри зображення уздовж осей.

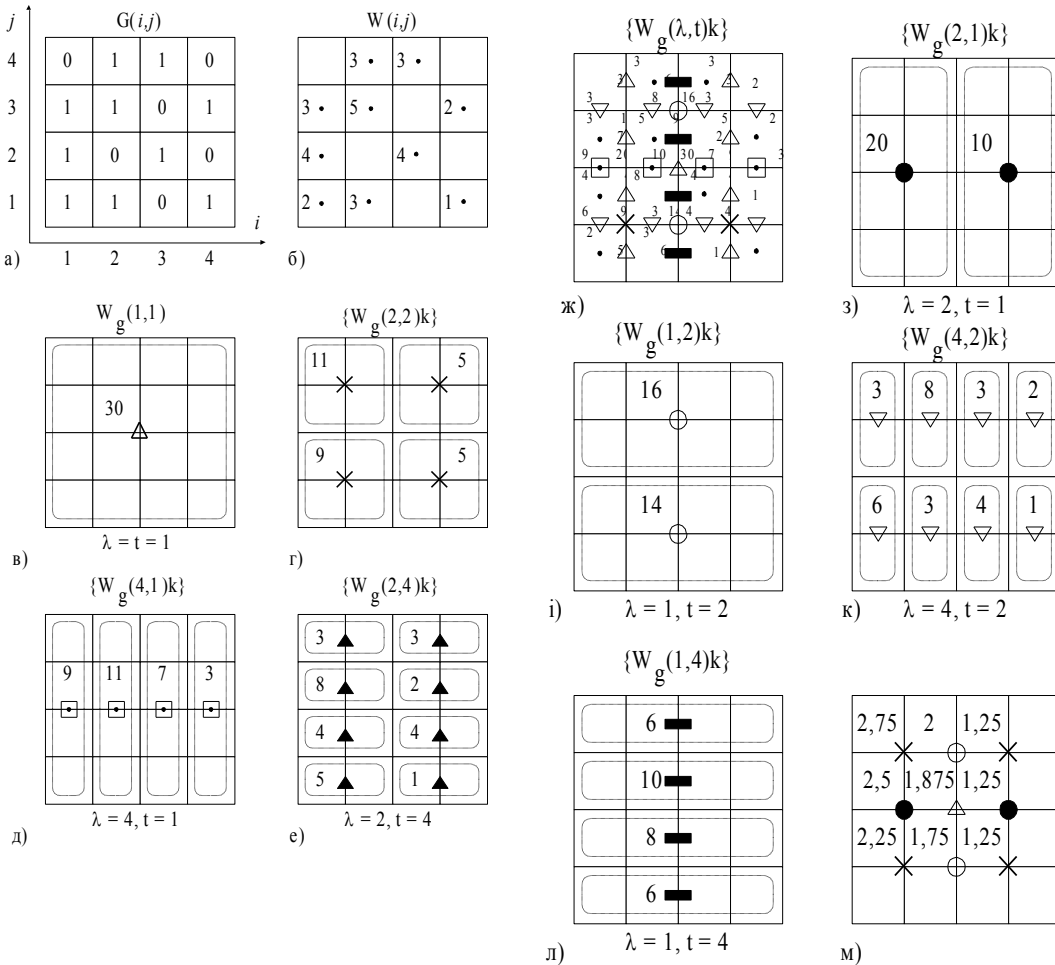


Рис. 1. Приклад бінарного зображення і його  $W$ -перетворення

Для більш інформативного опису доцільно застосувати розкладання зображення в нормований узагальнений  $W$ -спектр зв'язності, у якому значення кожного коефіцієнта зв'язності віднесено до площині відповідної області підсумування. Для ціличисельного двійкового  $W$ -спектра

розмір цих площ складає  $\frac{m_x m_y}{m_\lambda m_t}$ . Приклад представлення деяких коефіцієнтів  $W$ -спектра зв'язності

(рис. 1, в-л) у нормованому виді приведений на рис. 1,м, із якого випливає, що для аналізованого прикладу існують  $\delta$  - коефіцієнти більш інформативні, тобто відносна щільність зв'язності в даному прикладі одиничних відліків, зображення для котрих вище чим центральний  $\delta$  - коефіцієнт.

Розглянемо алгоритм порівняння зображень по  $W$ -спектрах зв'язності, що полягає в наступному:

1. Задають похибку порівняння  $\delta$  (зручно брати ступінь двійки).
2. Визначають максимальний порядок  $(\lambda, t)_{\max}$ , використовуваний при порівнянні

$$(\lambda, t)_{\max} \leq \frac{m_x m_y}{2\delta}.$$

3. Перебирають коефіцієнти  $W$ -спектра зв'язності поточного зображення відповідно до зростання їхнього порядку  $(\lambda, t)$  й убування в межах одного порядку; наприклад для зображення  $G(i, j)$  (рис. 1,а)  $\omega_{g(1,1)} = 30, \omega_{g(2,1)_0} = 20, \omega_{g(2,1)_1} = 10, \omega_{g(1,2)} = 16, \omega_{g(1,2)_1} = 14, \dots$

4. Формуються різниці коефіцієнтів  $W$ -спектрів зв'язності порівнюваних зображень до максимального порядку включно:

$$\Delta\omega_{fg(\lambda,t)_k} = \left| \omega_{f(\lambda,t)_k} - \omega_{g(\lambda,t)_k} \right|, \quad \lambda t \leq (\lambda, t)_{\max}.$$

5. Порівнюють різниці  $\Delta\omega_{fg(\lambda,t)_k}$  з похибкою  $\delta$ , при цьому якщо  $\omega_{g(\lambda,t)_k} \leq \delta$ , для всіх  $\lambda t \leq (\lambda, t)_{\max}$ , то зображення рівні, у противному випадку - не рівні. Алгоритм порівняння зображень по нормованому  $W$ -спектру зв'язності аналогічний вищевикладеному з залишком величини  $\delta$  на величину  $\delta_H = \delta \left( \frac{\lambda t}{m_x m_y} \right)$ . Для зручності представлення алгоритму останній розглянутий для бінарних зображень, але ті ж підрахунки справедливі для багатоградаційних зображень, при їх представленні як множини бінарних зображень.

## 2. ТРИВИМІРНИЙ ВАРІАНТ $W$ -СПЕКТРУ ЗВ'ЯЗНОСТІ

Розглянемо сутність  $W$ -перетворення на прикладі багатоградаційного зображення, приведеного на рис. 2,а, на якому цифрами 1 і 0 позначені значення відліків  $f_{i,j}$  перетинів препарованого зображення. Ваги перетинів препарованого зображення можуть відповісти вагам довільного засобу кодування, наприклад широко поширеному двійковому. Знайдемо суму  $\omega(1,1,1)$  по зв'язності всіх одиничних відліків (рис. 2,а) у межах кожного перетину і між сусідніми перетинами:

$$\omega(r, v, p) = \sum_u \sum_l \sum_{i,j} a_{i,j,l}^v \quad (3)$$

Віднесемо цю суму до геометричного центру об'єму  $V$  (рис. 2,б). Індекси 1,1,1 при  $r=v=p=1$  відповідають розподілу об'єму  $V$  на одну частину уздовж горизонтальної площини, на одну частину уздовж вертикальної площини і на одну частину уздовж фронтальної площини. Розділимо об'єм куба на дві половини уздовж горизонтальної площини і на одну частину уздовж вертикальної і фронтальної площин і знайдемо  $\omega(2,1,1)k$ . Продовжуючи цей процес одержимо суми (рис. 2,а-к):

$\omega(2,1,1)k$  ( $k = 0,1$ ),  $\omega(2,2,1)k$  ( $k = 0 \div 3$ ),  $\omega(4,2,1)k$  ( $k = 0 \div 7$ ),  $\omega(4,4,1)k$  ( $k = 0 \div 15$ ),  $\omega(1,2,1)k$  ( $k = 0,1$ )  
 $\omega(1,4,1)k$  ( $k = 0 \div 3$ ),  $\omega(2,4,1)k$  ( $k = 0 \div 7$ ),  $\omega(4,1,1)k$  ( $k = 0 \div 3$ ) і суми для  $p = 2$   $\omega(1,1,2)k$  ( $k = 0,1$ ),

$\omega(2,1,2)k$  ( $k = 0 \div 3$ ),  $\omega(2,2,2)k$  ( $k = 0 \div 7$ ),  $\omega(4,2,2)k$  ( $k = 0 \div 15$ ),  $\omega(4,4,2)k$  ( $k = 0 \div 31$ ),  $\omega(1,2,2)k$  ( $k = 0 \div 3$ ),  $\omega(1,4,2)k$  ( $k = 0 \div 7$ ),  $\omega(2,4,2)k$  ( $k = 0 \div 15$ ). При  $p = 4$  є аналогічних співвідношеннях  $rV$ , одержимо набір наступних  $\omega$  - коефіцієнтів  $\omega(1,1,4)k$  ( $k = 0 \div 3$ ),  $\omega(1,2,4)k$  ( $k = 0 \div 7$ ),  $\omega(2,2,4)k$  ( $k = 0 \div 15$ ),  $\omega(2,4,4)k$  ( $k = 0 \div 31$ ),  $\omega(4,4,4)k$  ( $k = 0 \div 63$ ),  $\omega(2,1,4)k$  ( $k = 0 \div 7$ ),  $\omega(4,1,4)k$  ( $k = 0 \div 15$ ),  $\omega(4,2,4)k$  ( $k = 0 \div 31$ ),  $\omega(1,4,4)k$  ( $k = 0 \div 15$ ).

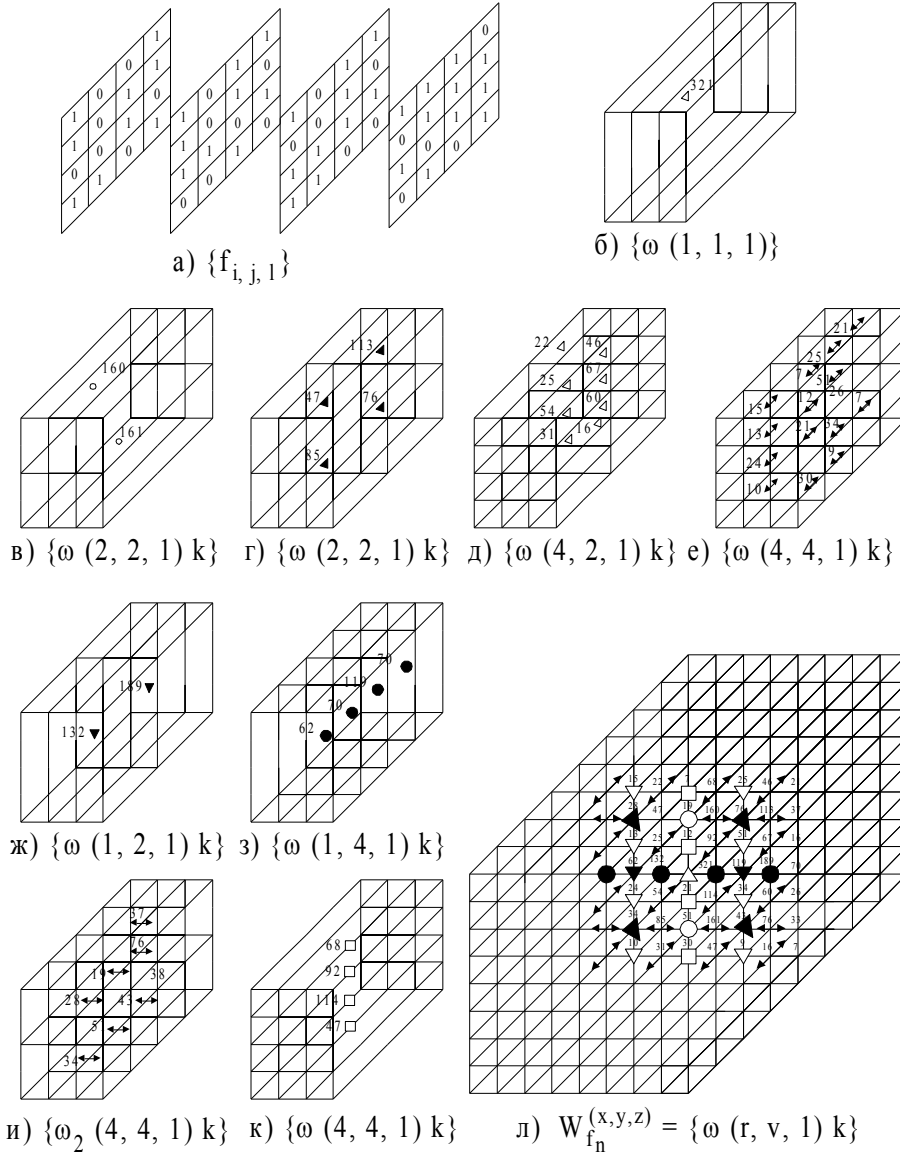


Рис. 2. Приклад баґатоградаційного зображення і його  $W$ -перетворення для  $p = 1$

Спектр зв'язності  $W_{\Sigma x,y}$  баґатоградаційного зображення (фрагмента) розмірністю  $m_x m_y m_z$  визначений

$$W_{\Sigma x,y,z} = \sum_v^{26} \sum_l^{m_z} \sum_{i,j}^{m_x m_y} a_{i,j,l}^v, \quad (4)$$

де  $a_{i,j,l}^v$  - елемент зображення (його фрагмента) із координатами  $i, j, l$  і зв'язністю  $v$ .

При розмірності зображення  $m_x m_y m_z$  і такому ж числі одиничних відліків у загальнений  $W$ -спектр зв'язності  $W_{\Sigma^{1x,y,z}}$  зображення буде

$$W_{\Sigma^{1x,y,z}} = 4 \cdot 11(m_z - 2) + 4 \cdot 2 \cdot 7 + 2 \cdot 17[(m_x + m_y) - 4](m_z - 2) + 2 \cdot 11[(m_x + m_y) - 4] + 26(m_x - 2) \cdot (m_y - 2) + 2 \cdot 17(m_x - 2)(m_y - 2), \text{ де } m_x m_y m_z \geq 2.$$

Спектр зв'язності поточного багатоградаційного зображення  $0 \leq W_{\Sigma^{x,y,z}} \leq W_{\Sigma^{1x,y,z}}$ . При  $m_x = m_y = m_z = 1$ ,  $W_{\Sigma^{1x,y,z}} = 0$ . Суми  $\omega(r, v, p)k$  ( $p=1$ ) будемо називати просторовим  $W$ -перетворенням зображення  $f(x, y, z) = \{f_{i,j,l}\}$  по зв'язності, тобто

$$f(x, y, z) = \{f_{x,y,l}\} \xrightarrow{W_{fn}} W_{fn}(x, y, z) = \{\omega(r, v, p)K\}, \quad (5)$$

де  $i = 0 \div (m_x - 1)$ ,  $j = 0 \div (m_y - 1)$ ,  $l = 0 \div (m_z - 1)$ ;  $r = 1 \div m_y$ ,  $v = 1 \div m_x$ ,  $p = 1 \div m_z$ ,  
при  $p = 1$ ,  $k = 0 \div (rv - 1)$ ;  $p = 2$ ,  $k = 0 \div (2rv - 1)$ , ...,  $p = n$ ,  $k = 0 \div (nrv - 1)$ .

Усього існує  $C_{16}^8, C_{16}^4, C_{12}^4, C_8^4, C_8^2, C_{16}^2, \dots, C_4^2$  засобів розподілу площин розмірності  $4 \times 4$  відліків на дві, чотири і вісім частин відповідно (рис. 1). Аналогічно існує  $C_{64}^{32}, C_{64}^{16}, C_{48}^{16}, C_{32}^{16}, C_{64}^8, C_{56}^8, C_{48}^8, \dots, C_{16}^8, C_{64}^4, C_{60}^4, C_{56}^4, \dots, C_8^4, C_{64}^2, C_{60}^2, \dots, C_4^2$  засобів розподілу куба розмірності  $4 \times 4 \times 4$  відліків на дві, чотири, вісім, шістнадцять і тридцять дві частини відповідно. Приведені на рис. 2 засоби розподілу куба розмірності  $4 \times 4 \times 4$  в силу своєї природності є простими, точки положення яких не перетинаються. Суми  $\omega(r, v, p)k$  будемо називати коефіцієнтами ( $\omega$  - коефіцієнтами)  $W$ -перетворення. Для збереження усіх  $\omega$ -коєфіцієнтів  $W$ -перетворення необхідно  $(2m_x - 1)(2m_y - 1)(2m_z - 1)$  комірок пам'яті. На практиці в цьому немає необхідності, тому що для порівняння зображень використовується обмежене число цих коефіцієнтів. Кожний із  $\omega$ -коєфіцієнтів, а також їх будь-яке неповне сполучення є неповним  $W$ -перетворенням зображення  $f(x, y, z)$ , тобто  $W_{fn}$ , де  $n$  - порядковий номер.

З аналізу засобу утворення  $\omega_f$ -коєфіцієнтів випливають наступні їх властивості:

1) із збільшенням добутку  $rv$ , названого порядком, тобто зі збільшенням числа частин, на які розбивається просторовий силует зображення,  $\omega_f$ -коєфіцієнти зменшуються;

2) найменші  $\omega$ -коєфіцієнти точно рівні зв'язності одиничних відліків зображення і відповідають їм по положенню. У аналізованому прикладі - це  $\omega(4,4,4)k$  ( $k = 0 \div 63$ );

3) суми  $\omega$ -коєфіцієнтів з однаковими індексами  $rv$  завжди рівні;

4) одна кові зображення мають тотожні рівні  $\omega$ -коєфіцієнти;

5) кожний  $\omega(rv)k$ -коєфіцієнт порядку  $rv$  дорівнює сумі двох коефіцієнтів із порядком

$$\frac{rpv}{2}.$$

Таким чином,  $W$ -перетворення по просторовій зв'язності функції  $f(x, y, z)$  можна розглядати як її просторово-зв'язаний спектр ( $W$ -спектр), що у залежності від повноти - перетворення буде, відповідно повним ( $W_{fn}$ -спектр) або неповним ( $W_{hp}$ -спектр). Якщо розміри зображення  $a_x, a_y, a_z$  не кратні ступеню 2, то необхідно розглядати зображення в полі, розміри якого  $m_x, m_y$  і  $m_z$  кратні ступеню 2:

$$\log_2 m_x = INT[\log_2 a_x] + 1; \quad \log_2 m_y = INT[\log_2 a_y] + 1; \quad \log_2 m_z = INT[\log_2 a_z] + 1;$$

де  $INT[*]$ - ціла частина від  $[*]$ .

Застосовуючи далі вищеописану процедуру по вищерозглянутому алгоритму, одержимо повний або неповний спектр зображень по зв'язності.

Алгоритм порівняння багатоградаційних зображень по їх просторово-зв'язаному  $W$ -спектру полягає в наступному:

1. Задають похибку  $\delta$  порівняння (зручно брати кратну ступеню 2).
2. Визначають максимальний порядок  $\omega(rpv)$  при  $p = 1, k = 0 \div (rv - 1); p = 2, k = 0 \div (2rv - 1), \dots, p = n, k = 0 \div (nrv - 1)$ ; порівнюваних просторових сиуєтів зображень по їх  $\omega$  - коефіцієнтам просторової зв'язності  $W$ -спектра,  $rpv \leq \frac{m_x m_y m_z}{2\delta}$ ;

3. Перебирають  $W$ -коефіцієнти  $rpv$  - спектра зв'язності поточного зображення в порядку убування їхніх порядків  $rpv$  і убування їх по величині в межах одного порядку. Для нашого прикладу перебір  $\omega$  - коефіцієнтів  $W$ -спектра зв'язності буде виглядати так:

$$\omega_{f(1,1,1)} = 321, \quad \omega_{f(1,2,1)_a} = 189, \quad \omega_{f(1,2,1)_i} = 132, \quad \omega_{f(1,1,2)_0} = 191, \quad \omega_{f(1,1,2)_i} = 130, \quad \omega_{f(2,2,1)_0} = 113, \quad \omega_{f(2,2,1)_i} = 85,$$

$$\omega_{f(2,2,1)_2} = 76, \quad \omega_{f(2,2,1)_3} = 47, \quad \omega_{f(2,1,2)_0} = 101, \quad \omega_{f(2,1,2)_i} = 90, \quad \omega_{f(2,1,2)_3} = 60, \quad \omega_{f(4,4,2)_0} = 29, \dots, \quad \omega_{f(4,4,2)_{31}} = 31.$$

4. Віднімають  $\omega$  - коефіцієнти  $\omega(r, v, p)k$  з  $\omega$  - коефіцієнтів еталонних зображень  $(r, v, p)k$ , що визначаються аналогічним чином, утворюють різниці  $f_g(r, v, p)k$ . При наявності декількох еталонних зображень утворюють таку ж кількість різниць  $f_g(r, v, p)k$ . У межах кожного порядку при фіксованих значеннях  $r, v, p$  знаходять сумарні різниці  $f_g(r, v, p)k = \sum^k \Delta f_g(r, v, p)k$  і порівнюють їх із похибкою  $\delta$ . Якщо при цьому всі сумарні різниці менше  $\delta$ , то порівнювані зображення рівні. Якщо хоча б одна сумарна різниця не менше  $\delta$ , то - не рівні.

## ВИСНОВКИ

Головна відмінність запропонованого підходу порівняння зображень по  $W$  - спектрах зв'язності від традиційних методів [7,8] порівняння зображень, зокрема по їх  $Q$  - спектрам [2] полягає в тому, що тут порівнюються зображення не тільки по площі одиничних або багатоградаційних (у випадку напівтонових зображень) відліків, а враховується при їх порівнянні взаємне розташування в просторово-часовій області суспідніх відліків порівнюваних зображень, що веде до істотного (у 2-3 рази) підвищення завадостійкості і поліпшення інваріантості до повороту зображень. З метою підвищення інформативності порівняння зображень можна користуватися, аналогічно того як показано в [6], приведеним  $\omega$  - коефіцієнтом зв'язності.

## СПИСОК ЛІТЕРАТУРИ

1. V.P. Kozhemyako, L.I. Tymchenko, Yu.F. Kutaev, A.A. Yaroviy Approach for real – time image recognition. // Оптико-електронні інформаційно-енергетичні технології. – 2001 р. – №1. – С. 110-124
2. Кожемяко В.П., Кутаев Ю.Ф., Чепорнюк С.В., Тимченко Л.И. Локализация протяженного объекта с предварительным сверточным суммированием изображения // Труды I Всесоюзной конф. "Распознавание образов и анализ изображений: Новые информационные технологии" (РОАИ-91). - Минск: ИК БССР. - 1991. - С. 66-69.
3. Кожем'яко В.П., Тимченко Л.И., Кутаев Ю.Ф., Івасюк І.Д. Вступ в алгоритмічну теорію ієархії і паралелізму нейроподібних обчислювальних середовищ та її застосування до перетворення зображень. Основи теорії пірамідально сіткового перетворення зображень - К: УМК ВО, 1994. – 272 с.
4. Свєчников С.В., Кожемяко В.П., Тимченко Л.И. Квазимпульсно-потенціальные оптоелектронные элементы и устройства логико-временного типа. - К.: Наукова думка, 1987. – 256 с.

5. Верхаген К., Дебир Р. и др. Распознавание образов: состояние и перспективы. Пер. с англ. - М.: Радио и связь, 1985.
6. Кожемяко В.П., Тимченко Л.И. Лысенко Г.Л., Кутаев Ю.Ф., Функциональные элементы и устройства оптоэлектроники.- К.: УМК ВО, 1990. – 251 с.
7. Баклицкий В.К., Юрьев А.Н. Корреляционно-экстремальные методы навигации.- М.: Радио и связь, 1982. – 256 с.
8. Погребной В.А. Бортовые системы обработки сигналов. - К.: Наукова думка, 1984. – 216 с.

Надійшла до редакції 20.04.2002 р.

**КОЖЕМ'ЯКО В.П.** – академік АІНУ, д.т.н., професор, завідуючий кафедри лазерної і оптоелектронної техніки, Вінницький державний технічний університет, Вінниця, Україна.

**ТИМЧЕНКО Л.І.** – д.т.н., доцент кафедри інформаційного менеджменту, Вінницький державний технічний університет, Вінниця, Україна.

**КУТАЄВ Ю.Ф.** – к.т.н., замісник головного конструктора ОКБ “Топаз” ГП “НПО Астрофізика” м. Москва, Росія.

**ЯРОВИЙ А.А.** – аспірант, м.н.с. кафедри лазерної і оптоелектронної техніки, Вінницький державний технічний університет, Вінниця, Україна.

**КОКРЯЦЬКА Н.І.** – асистент кафедри математики, Вінницький державний технічний університет, Вінниця, Україна.